

Modèles probabilistes spatialisés pour la propagation de pathogènes par les mouvements commerciaux d'animaux

Andrée BARNIER ¹

¹Université Paris-Saclay, INRAE, MaIAGE

Thèse encadrée par Patrick HOSCHEIT et Estelle KUHN

ModStatSAP 2024

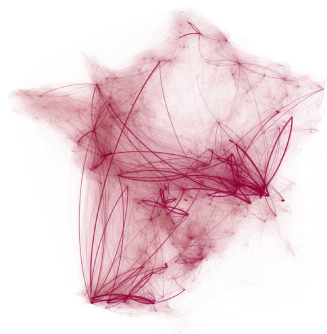
Introduction et contexte

BDNI: (*Base de Données Nationale d'Identification*) pour enregistrer les mouvements de bovins en France.

Introduction et contexte

BDNI: (*Base de Données Nationale d'Identification*) pour enregistrer les mouvements de bovins en France.

- Les données peuvent être représentées comme des graphes :

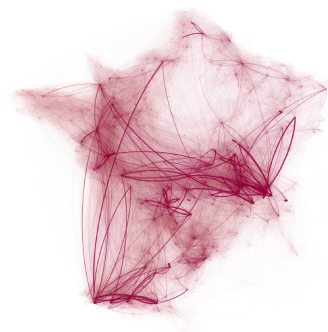


Représentation de la BDNI du Pays de la Loire entre 2010 and 2014.
(Image créée par Gaël Beaunée)

BDNI: (*Base de Données Nationale d'Identification*) pour enregistrer les mouvements de bovins en France.

- Les données peuvent être représentées comme des graphes :

Noeuds	↔	Centres d'exploitation agricole
Arêtes	↔	Les échanges d'animaux entre deux centres



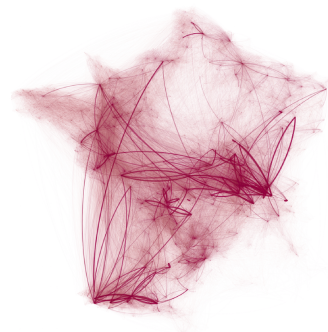
Représentation de la BDNI du Pays de la Loire entre 2010 and 2014.
(Image créée par Gaël Beaunée)

BDNI: (*Base de Données Nationale d'Identification*) pour enregistrer les mouvements de bovins en France.

- Les données peuvent être représentées comme des graphes :

Noeuds	↔	Centres d'exploitation agricole
Arêtes	↔	Les échanges d'animaux entre deux centres

- Caractéristiques principales du réseau :



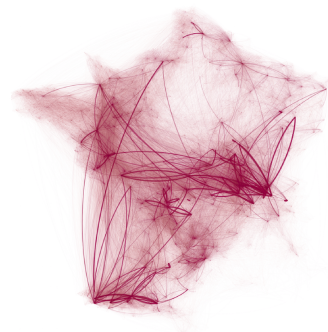
Représentation de la BDNI du Pays de la Loire entre 2010 and 2014.
(Image créée par Gaël Beaunée)

BDNI: (*Base de Données Nationale d'Identification*) pour enregistrer les mouvements de bovins en France.

- Les données peuvent être représentées comme des graphes :

Noeuds \iff Centres d'exploitation agricole
Arêtes \iff Les échanges
d'animaux entre deux centres

- Caractéristiques principales du réseau :
 - ① Grande taille.
316 000 exploitations sur la période et
7 millions de mouvements par an.



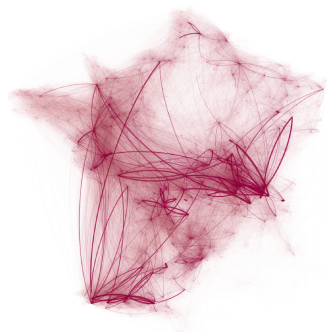
Représentation de la BDNI du Pays de la Loire entre 2010 and 2014.
(Image créée par Gaël Beaunée)

BDNI: (*Base de Données Nationale d'Identification*) pour enregistrer les mouvements de bovins en France.

- Les données peuvent être représentées comme des graphes :

Noeuds \iff Centres d'exploitation agricole
Arêtes \iff Les échanges
d'animaux entre deux centres

- Caractéristiques principales du réseau :
 - 1 Grande taille.
316 000 exploitations sur la période et
7 millions de mouvements par an.
 - 2 **Inhomogénéité sur les degrés des nœuds.**



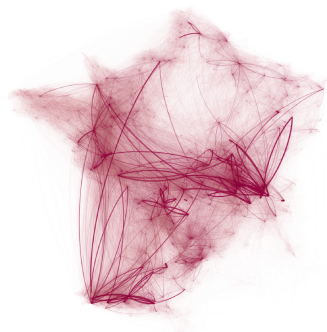
Représentation de la BDNI du Pays de la Loire entre 2010 and 2014.
(Image créée par Gaël Beaunée)

BDNI: (*Base de Données Nationale d'Identification*) pour enregistrer les mouvements de bovins en France.

- Les données peuvent être représentées comme des graphes :

Noeuds \iff Centres d'exploitation agricole
Arêtes \iff Les échanges d'animaux entre deux centres

- Caractéristiques principales du réseau :
 - 1 Grande taille.
316 000 exploitations sur la période et 7 millions de mouvements par an.
 - 2 **Inhomogénéité sur les degrés des nœuds.**
 - 3 **Présence d'arêtes très longues.**



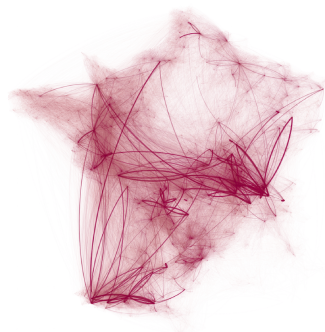
Représentation de la BDNI du Pays de la Loire entre 2010 and 2014.
(Image créée par Gaël Beaunée)

BDNI: (*Base de Données Nationale d'Identification*) pour enregistrer les mouvements de bovins en France.

- Les données peuvent être représentées comme des graphes :

Noeuds \iff Centres d'exploitation agricole
Arêtes \iff Les échanges d'animaux entre deux centres

- Caractéristiques principales du réseau :
 - 1 Grande taille.
316 000 exploitations sur la période et
7 millions de mouvements par an.
 - 2 **Inhomogénéité sur les degrés des nœuds.**
 - 3 **Présence d'arêtes très longues.**



Représentation de la BDNI du Pays de la Loire entre 2010 and 2014.
(Image créée par Gaël Beaunée)

Comment modéliser ce réseau ?
Comment se comportent les épidémies sur un réseau comme celui-ci ?

Modèles de graphes aléatoires

Scale-Free Percolation (SFP)

.

Modèles de graphes aléatoires

Scale-Free Percolation (SFP)

Nœuds(V) \longrightarrow Donnés par un processus ponctuel de Poisson \mathcal{X} sur \mathbb{R}^d d'intensité 1 .

Modèles de graphes aléatoires

Scale-Free Percolation (SFP)

Nœuds(V) \longrightarrow Donnés par un processus ponctuel de Poisson \mathcal{X} sur \mathbb{R}^d d'intensité 1 .
Poids sur les nœuds \longrightarrow Pour $x \in V$ on associe $W_x > 1$.

$(W_x)_x$ sont i.i.d et suivent une distribution de Pareto d'exposant τ

$$\mathbb{P}(W_x \geq t) = t^{\tau-1} \quad \text{pour } \tau > 1 \text{ et } t > 1$$

Modèles de graphes aléatoires

Scale-Free Percolation (SFP)

Nœuds(V) \longrightarrow Donnés par un processus ponctuel de Poisson \mathcal{X} sur \mathbb{R}^d d'intensité 1 .

Poids sur les nœuds \longrightarrow Pour $x \in V$ on associe $W_x > 1$.

$(W_x)_x$ sont i.i.d et suivent une distribution de Pareto d'exposant τ

$$\mathbb{P}(W_x \geq t) = t^{\tau-1} \quad \text{pour } \tau > 1 \text{ et } t > 1$$

Connections(E) \longrightarrow Pour $x, y \in E, x \sim y$ avec probabilité

$$p_{x,y} = 1 - \exp\left(-\frac{W_x W_y}{\|x - y\|^\alpha}\right)$$

pour α dans $(0, \infty)$.

Modèles de graphes aléatoires

Scale-Free Percolation (SFP)

- Nœuds(V) \longrightarrow Donnés par un processus ponctuel de Poisson \mathcal{X} sur \mathbb{R}^d d'intensité 1 .
- Poids sur les nœuds \longrightarrow Pour $x \in V$ on associe $W_x > 1$.
 $(W_x)_x$ sont i.i.d et suivent une distribution de Pareto d'exposant τ
$$\mathbb{P}(W_x \geq t) = t^{\tau-1} \quad \text{pour } \tau > 1 \text{ et } t > 1$$
- Connections(E) \longrightarrow Pour $x, y \in E, x \sim y$ avec probabilité
- $$p_{x,y} = 1 - \exp\left(-\frac{W_x W_y}{\|x - y\|^\alpha}\right)$$
- pour α dans $(0, \infty)$.

Famille de paramètres:

- τ : paramètre représentant l'inhomogénéité du graphe.

Modèles de graphes aléatoires

Scale-Free Percolation (SFP)

Nœuds(V) \longrightarrow Donnés par un processus ponctuel de Poisson \mathcal{X} sur \mathbb{R}^d d'intensité 1 .

Poids sur les nœuds \longrightarrow Pour $x \in V$ on associe $W_x > 1$.

$(W_x)_x$ sont i.i.d et suivent une distribution de Pareto d'exposant τ

$$\mathbb{P}(W_x \geq t) = t^{\tau-1} \quad \text{pour } \tau > 1 \text{ et } t > 1$$

Connections(E) \longrightarrow Pour $x, y \in E, x \sim y$ avec probabilité

$$p_{x,y} = 1 - \exp\left(-\frac{W_x W_y}{\|x - y\|^\alpha}\right)$$

pour α dans $(0, \infty)$.

Famille de paramètres:

- τ : paramètre représentant l'inhomogénéité du graphe.
Petit τ implique grande variance des degrés

Modèles de graphes aléatoires

Scale-Free Percolation (SFP)

Nœuds(V) \rightarrow Donnés par un processus ponctuel de Poisson \mathcal{X} sur \mathbb{R}^d d'intensité 1 .

Poids sur les nœuds \rightarrow Pour $x \in V$ on associe $W_x > 1$.

$(W_x)_x$ sont i.i.d et suivent une distribution de Pareto d'exposant τ

$$\mathbb{P}(W_x \geq t) = t^{\tau-1} \quad \text{pour } \tau > 1 \text{ et } t > 1$$

Connections(E) \rightarrow Pour $x, y \in E, x \sim y$ avec probabilité

$$p_{x,y} = 1 - \exp\left(-\frac{W_x W_y}{\|x - y\|^\alpha}\right)$$

pour α dans $(0, \infty)$.

Famille de paramètres:

- τ : paramètre représentant l'inhomogénéité du graphe.
Petit τ implique grande variance des degrés
- α : paramètre de longue portée (*long-range*)

Modèles de graphes aléatoires

Scale-Free Percolation (SFP)

Nœuds(V) \longrightarrow Donnés par un processus ponctuel de Poisson \mathcal{X} sur \mathbb{R}^d d'intensité 1 .

Poids sur les nœuds \longrightarrow Pour $x \in V$ on associe $W_x > 1$.

$(W_x)_x$ sont i.i.d et suivent une distribution de Pareto d'exposant τ

$$\mathbb{P}(W_x \geq t) = t^{\tau-1} \quad \text{pour } \tau > 1 \text{ et } t > 1$$

Connections(E) \longrightarrow Pour $x, y \in E, x \sim y$ avec probabilité

$$p_{x,y} = 1 - \exp\left(-\frac{W_x W_y}{\|x - y\|^\alpha}\right)$$

pour α dans $(0, \infty)$.

Famille de paramètres:

- τ : paramètre représentant l'inhomogénéité du graphe.
Petit τ implique grande variance des degrés
- α : paramètre de longue portée (*long-range*)
Petit α implique plus de facilité a connecter des nœuds lointains.

Modèles de graphes aléatoires

Scale-Free Percolation (SFP)

Nœuds(V) \longrightarrow Donnés par un processus ponctuel de Poisson \mathcal{X} sur \mathbb{R}^d d'intensité 1 .

Poids sur les nœuds \longrightarrow Pour $x \in V$ on associe $W_x > 1$.

$(W_x)_x$ sont i.i.d et suivent une distribution de Pareto d'exposant τ

$$\mathbb{P}(W_x \geq t) = t^{\tau-1} \quad \text{pour } \tau > 1 \text{ et } t > 1$$

Connections(E) \longrightarrow Pour $x, y \in E, x \sim y$ avec probabilité

$$p_{x,y} = 1 - \exp\left(-\frac{W_x W_y}{\|x - y\|^\alpha}\right)$$

pour α dans $(0, \infty)$.

Famille de paramètres:

- τ : paramètre représentant l'inhomogénéité du graphe.
Petit τ implique grande variance des degrés
- α : paramètre de longue portée (*long-range*)
Petit α implique plus de facilité a connecter des nœuds lointains.
- ($d = 2$): dimension of space

Résultats théoriques sur SFP et modèle SIS (λ)

Collaborateurs: Michele SALVI et Patrick HOSCHEIT

Nœuds(V) \longrightarrow PPP \mathcal{X} sur \mathbb{R}^d d'intensité 1

Poids sur les nœuds $\longrightarrow (W_x)_x$ sont i.i.d et suivent une distribution de pareto d'exposant τ

$$\mathbb{P}(W_x \geq t) = t^{\tau-1} \quad \text{pour } \tau > 1 \text{ et } t > 1$$

Connections(E) \longrightarrow $p_{x,y} = 1 - \exp\left(-\frac{W_x W_y}{\|x - y\|^\alpha}\right)$ pour α dans $(0, \infty)$

Résultats théoriques sur SFP et modèle SIS (λ)

Collaborateurs: Michele SALVI et Patrick HOSCHEIT

Nœuds(V) \longrightarrow PPP \mathcal{X} sur \mathbb{R}^d d'intensité 1

Poids sur les nœuds $\longrightarrow (W_x)_x$ sont i.i.d et suivent une distribution de pareto d'exposant τ

$$\mathbb{P}(W_x \geq t) = t^{\tau-1} \quad \text{pour } \tau > 1 \text{ et } t > 1$$

Connections(E) \longrightarrow $p_{x,y} = 1 - \exp\left(-\frac{W_x W_y}{\|x - y\|^\alpha}\right)$ pour α dans $(0, \infty)$

Quand $\gamma = \frac{\alpha}{d}(\tau - 1) \in (1, 2)$:

Résultats théoriques sur SFP et modèle SIS (λ)

Collaborateurs: Michele SALVI et Patrick HOSCHEIT

Nœuds(V) \longrightarrow PPP \mathcal{X} sur \mathbb{R}^d d'intensité 1

Poids sur les nœuds $\longrightarrow (W_x)_x$ sont i.i.d et suivent une distribution de pareto d'exposant τ

$$\mathbb{P}(W_x \geq t) = t^{\tau-1} \quad \text{pour } \tau > 1 \text{ et } t > 1$$

Connections(E) \longrightarrow $p_{x,y} = 1 - \exp\left(-\frac{W_x W_y}{\|x-y\|^\alpha}\right)$ pour α dans $(0, \infty)$

Quand $\gamma = \frac{\alpha}{d}(\tau - 1) \in (1, 2)$:

☞ Beaucoup d'arêtes

Résultats théoriques sur SFP et modèle SIS (λ)

Collaborateurs: Michele SALVI et Patrick HOSCHEIT

Nœuds(V) \longrightarrow PPP \mathcal{X} sur \mathbb{R}^d d'intensité 1

Poids sur les nœuds $\longrightarrow (W_x)_x$ sont i.i.d et suivent une distribution de pareto d'exposant τ

$$\mathbb{P}(W_x \geq t) = t^{\tau-1} \quad \text{pour } \tau > 1 \text{ et } t > 1$$

Connections(E) \longrightarrow $p_{x,y} = 1 - \exp\left(-\frac{W_x W_y}{\|x - y\|^\alpha}\right)$ pour α dans $(0, \infty)$

Quand $\gamma = \frac{\alpha}{d}(\tau - 1) \in (1, 2)$:

- Beaucoup d'arêtes
- Distance de graphe à l'échelle $\log \log$ de la distance euclidienne.

Résultats théoriques sur SFP et modèle SIS (λ)

Collaborateurs: Michele SALVI et Patrick HOSCHEIT

Nœuds(V) \longrightarrow PPP \mathcal{X} sur \mathbb{R}^d d'intensité 1

Poids sur les nœuds $\longrightarrow (W_x)_x$ sont i.i.d et suivent une distribution de pareto d'exposant τ

$$\mathbb{P}(W_x \geq t) = t^{\tau-1} \quad \text{pour } \tau > 1 \text{ et } t > 1$$

Connections(E) \longrightarrow $p_{x,y} = 1 - \exp\left(-\frac{W_x W_y}{\|x - y\|^\alpha}\right)$ pour α dans $(0, \infty)$

Quand $\gamma = \frac{\alpha}{d}(\tau - 1) \in (1, 2)$:

- Beaucoup d'arêtes
- Distance de graphe à l'échelle $\log \log$ de la distance euclidienne.
- Sur le graphe infini:** Non extinction du modèle SIS de paramètre de contamination λ , pour toutes valeurs de λ

Résultats théoriques sur SFP et modèle SIS (λ)

Collaborateurs: Michele SALVI et Patrick HOSCHEIT

Nœuds(V) \longrightarrow PPP \mathcal{X} sur \mathbb{R}^d d'intensité 1

Poids sur les nœuds $\longrightarrow (W_x)_x$ sont i.i.d et suivent une distribution de pareto d'exposant τ

$$\mathbb{P}(W_x \geq t) = t^{\tau-1} \quad \text{pour } \tau > 1 \text{ et } t > 1$$

Connections(E) \longrightarrow $p_{x,y} = 1 - \exp\left(-\frac{W_x W_y}{\|x - y\|^\alpha}\right)$ pour α dans $(0, \infty)$

Quand $\gamma = \frac{\alpha}{d}(\tau - 1) \in (1, 2)$:

- Beaucoup d'arêtes
- Distance de graphe à l'échelle $\log \log$ de la distance euclidienne.
- Sur le graphe infini:** Non extinction du modèle SIS de paramètre de contamination λ , pour toutes valeurs de λ
- Sur le graphe fini dans $[0, \sqrt{n}]^d$:** temps d'extinction du modèle SIS exponentiel par rapport à la taille du graphe.

$$\mathbb{P}(\tau_{G_n} \geq e^{cn}) \rightarrow 1 \quad \text{quand } n \rightarrow \infty$$

Résultats théoriques sur SFP et modèle SIS (λ)

Collaborateurs: Michele SALVI et Patrick HOSCHEIT

Nœuds(V) \longrightarrow PPP \mathcal{X} sur \mathbb{R}^d d'intensité 1

Poids sur les nœuds $\longrightarrow (W_x)_x$ sont i.i.d et suivent une distribution de pareto d'exposant τ

$$\mathbb{P}(W_x \geq t) = t^{\tau-1} \quad \text{pour } \tau > 1 \text{ et } t > 1$$

Connections(E) \longrightarrow $p_{x,y} = 1 - \exp\left(-\frac{W_x W_y}{\|x - y\|^\alpha}\right)$ pour α dans $(0, \infty)$

Quand $\gamma = \frac{\alpha}{d}(\tau - 1) \in (1, 2)$:

Quand $\gamma > 2$ et $\alpha \in (d, 2d)$

- Beaucoup d'arêtes
- Distance de graphe à l'échelle $\log \log$ de la distance euclidienne.
- Sur le graphe infini:** Non extinction du modèle SIS de paramètre de contamination λ , pour toutes valeurs de λ
- Sur le graphe fini dans $[0, \sqrt{n}]^d$:** temps d'extinction du modèle SIS exponentiel par rapport à la taille du graphe.

$$\mathbb{P}(\tau_{G_n} \geq e^{cn}) \rightarrow 1 \quad \text{quand } n \rightarrow \infty$$

Résultats théoriques sur SFP et modèle SIS (λ)

Collaborateurs: Michele SALVI et Patrick HOSCHEIT

Nœuds(V) \longrightarrow PPP \mathcal{X} sur \mathbb{R}^d d'intensité 1

Poids sur les nœuds $\longrightarrow (W_x)_x$ sont i.i.d et suivent une distribution de pareto d'exposant τ

$$\mathbb{P}(W_x \geq t) = t^{\tau-1} \quad \text{pour } \tau > 1 \text{ et } t > 1$$

Connections(E) \longrightarrow $p_{x,y} = 1 - \exp\left(-\frac{W_x W_y}{\|x - y\|^\alpha}\right)$ pour α dans $(0, \infty)$

Quand $\gamma = \frac{\alpha}{d}(\tau - 1) \in (1, 2)$:

Quand $\gamma > 2$ et $\alpha \in (d, 2d)$

☞ Beaucoup d'arêtes

☞ Moins d'arêtes

☞ Distance de graphe à l'échelle $\log \log$ de la distance euclidienne.

- **Sur le graphe infini:** Non extinction du modèle SIS de paramètre de contamination λ , pour toutes valeurs de λ
- **Sur le graphe fini dans $[0, \sqrt{n}]^d$:** temps d'extinction du modèle SIS exponentiel par rapport à la taille du graphe.

$$\mathbb{P}(\tau_{G_n} \geq e^{cn}) \rightarrow 1 \quad \text{quand } n \rightarrow \infty$$

Résultats théoriques sur SFP et modèle SIS (λ)

Collaborateurs: Michele SALVI et Patrick HOSCHEIT

Nœuds(V) \longrightarrow PPP \mathcal{X} sur \mathbb{R}^d d'intensité 1

Poids sur les nœuds $\longrightarrow (W_x)_x$ sont i.i.d et suivent une distribution de pareto d'exposant τ

$$\mathbb{P}(W_x \geq t) = t^{\tau-1} \quad \text{pour } \tau > 1 \text{ et } t > 1$$

Connections(E) \longrightarrow $p_{x,y} = 1 - \exp\left(-\frac{W_x W_y}{\|x - y\|^\alpha}\right)$ pour α dans $(0, \infty)$

Quand $\gamma = \frac{\alpha}{d}(\tau - 1) \in (1, 2)$:

- Beaucoup d'arêtes
- Distance de graphe à l'échelle $\log \log$ de la distance euclidienne.
- Sur le graphe infini:** Non extinction du modèle SIS de paramètre de contamination λ , pour toutes valeurs de λ
- Sur le graphe fini dans $[0, \sqrt{n}]^d$:** temps d'extinction du modèle SIS exponentiel par rapport à la taille du graphe.

$$\mathbb{P}(\tau_{G_n} \geq e^{cn}) \rightarrow 1 \quad \text{quand } n \rightarrow \infty$$

Quand $\gamma > 2$ et $\alpha \in (d, 2d)$

- Moins d'arêtes
- Distance de graphe à l'échelle \log de la distance euclidienne.

Résultats théoriques sur SFP et modèle SIS (λ)

Collaborateurs: Michele SALVI et Patrick HOSCHEIT

Nœuds(V) \longrightarrow PPP \mathcal{X} sur \mathbb{R}^d d'intensité 1

Poids sur les nœuds $\longrightarrow (W_x)_x$ sont i.i.d et suivent une distribution de pareto d'exposant τ

$$\mathbb{P}(W_x \geq t) = t^{\tau-1} \quad \text{pour } \tau > 1 \text{ et } t > 1$$

Connections(E) \longrightarrow $p_{x,y} = 1 - \exp\left(-\frac{W_x W_y}{\|x-y\|^\alpha}\right)$ pour α dans $(0, \infty)$

Quand $\gamma = \frac{\alpha}{d}(\tau - 1) \in (1, 2)$:

- Beaucoup d'arêtes
- Distance de graphe à l'échelle $\log \log$ de la distance euclidienne.
- Sur le graphe infini:** Non extinction du modèle SIS de paramètre de contamination λ , pour toutes valeurs de λ
- Sur le graphe fini dans $[0, \sqrt{n})^d$:** temps d'extinction du modèle SIS exponentiel par rapport à la taille du graphe.

$$\mathbb{P}(\tau_{G_n} \geq e^{cn}) \rightarrow 1 \quad \text{quand } n \rightarrow \infty$$

Quand $\gamma > 2$ et $\alpha \in (d, 2d)$

- Moins d'arêtes
 - Distance de graphe à l'échelle \log de la distance euclidienne.
 - Sur le graphe fini de taille dans $[0, \sqrt{n})^d$:**
- $$\mathbb{P}\left(\tau_{G_n} \geq \exp\left(c \frac{n}{(\log n)^A}\right)\right) \rightarrow 1 \quad \text{quand } n \rightarrow \infty$$

Inférence des paramètres : méthodes ABC

Collaborateurs: Gaël BEAUNÉE et Patrick HOSCHEIT

Inférence des paramètres : méthodes ABC

Collaborateurs: Gaël BEAUNÉE et Patrick HOSCHEIT

Objectif :

Inférence sur les paramètres τ, α

$$\text{SFP}(\tau, \alpha, d = 2) \iff \text{BDNI}$$

Inférence des paramètres : méthodes ABC

Collaborateurs: Gaël BEAUNÉE et Patrick HOSCHEIT

Objectif :

Inférence sur les paramètres τ , α

SFP (τ , α , $d = 2$) \iff BDNI



Outil:

Approximate Bayesian Computation (ABC): méthodes d'inférence basées sur des statistiques bayésiennes.

Inference des paramètres : méthodes ABC

Collaborateurs: Gaël BEAUNÉE et Patrick HOSCHEIT

Objectif :

Inférence sur les paramètres τ, α

SFP ($\tau, \alpha, d = 2$) \iff BDNI

Outil:

Approximate Bayesian Computation (ABC): méthodes d'inférence basées sur des statistiques bayésiennes.

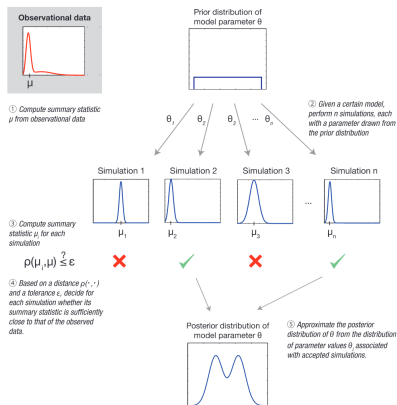


Figure 1. Parameter estimation by Approximate Bayesian Computation: a conceptual overview.
doi:10.1371/journal.pcbi.1002803.g001

Inference des paramètres : méthodes ABC

Collaborateurs: Gaël BEAUNÉE et Patrick HOSCHEIT

Objectif :

Inférence sur les paramètres τ, α

SFP ($\tau, \alpha, d = 2$) \iff BDNI

Outil:

Approximate Bayesian Computation (ABC): méthodes d'inférence basées sur des statistiques bayésiennes.

👉 Méthode indépendante de la vraisemblance

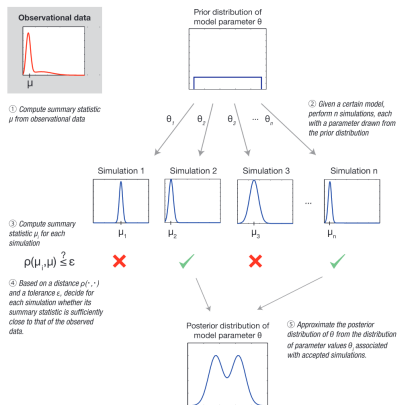


Figure 1. Parameter estimation by Approximate Bayesian Computation: a conceptual overview.
doi:10.1371/journal.pcbi.1002803.g001

Inference des paramètres : méthodes ABC

Collaborateurs: Gaël BEAUNÉE et Patrick HOSCHEIT

Objectif :

Inférence sur les paramètres τ, α

SFP ($\tau, \alpha, d = 2$) \iff BDNI

Outil:

Approximate Bayesian Computation (ABC): méthodes d'inférence basées sur des statistiques bayésiennes.

👉 Méthode indépendante de la vraisemblance ✓

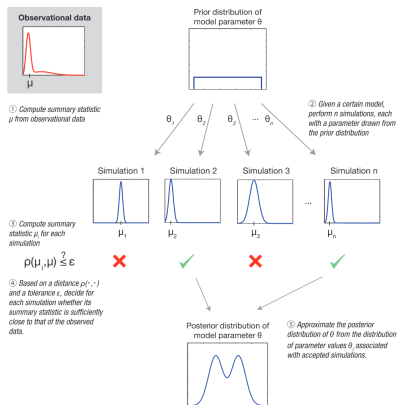


Figure 1. Parameter estimation by Approximate Bayesian Computation: a conceptual overview.
doi:10.1371/journal.pcbi.1002803.g001

Inference des paramètres : méthodes ABC

Collaborateurs: Gaël BEAUNÉE et Patrick HOSCHEIT

Objectif :

Inférence sur les paramètres τ, α

SFP ($\tau, \alpha, d = 2$) \iff BDNI

Outil:

Approximate Bayesian Computation (ABC): méthodes d'inférence basées sur des statistiques bayésiennes.

☞ Méthode indépendante de la vraisemblance ✓

☞ Méthode basée sur la simulation

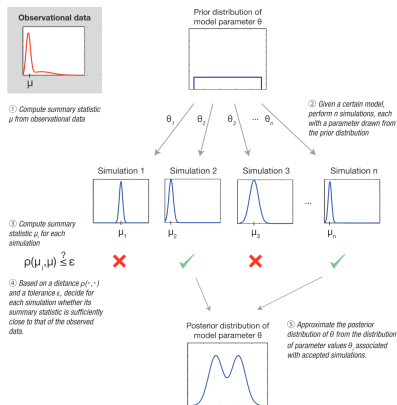


Figure 1. Parameter estimation by Approximate Bayesian Computation: a conceptual overview.
doi:10.1371/journal.pcbi.1002803.g001

Inférence des paramètres : méthodes ABC

Collaborateurs: Gaël BEAUNÉE et Patrick HOSCHEIT

Objectif :

Inférence sur les paramètres τ, α

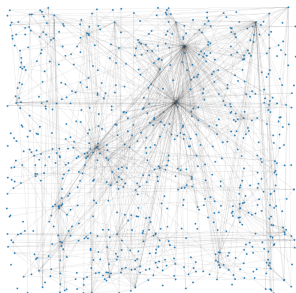
SFP ($\tau, \alpha, d = 2$) \iff BDNI



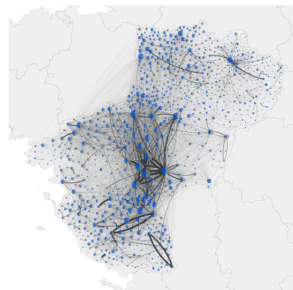
Outil:

Approximate Bayesian Computation (ABC): méthodes d'inférence basées sur des statistiques bayésiennes.

- ☞ Méthode indépendante de la vraisemblance ✓
- ☞ Méthode basée sur la simulation ✓








Simulation de SFP avec $\tau = 2.5$ et $\alpha = 1.8$



Représentation de la BDNI (Image créée par Gaël BEAUNÉE)

Bibliographie I

-  Dalmau, J., & Salvi, M. (2019, February). Scale-free percolation in continuum space: Quenched degree and clustering coefficient [arXiv:1902.05774 [math]]. Retrieved October 21, 2022, from <http://arxiv.org/abs/1902.05774>
-  Deijfen, M., van der Hofstad, R., & Hooghiemstra, G. (2013). Scale-free percolation. **Annales de l'Institut Henri Poincaré, Probabilités et Statistiques**, **49**(3). <https://doi.org/10.1214/12-AIHP480>
Document qui nous permet de donner les espace auquel appartiennent les paramètre pour être dans le bon régime de SFP.
-  Linker, A., Mitsche, D., Schapira, B., & Valesin, D. (2021). The contact process on random hyperbolic graphs: Metastability and critical exponents [Publisher: Institute of Mathematical Statistics]. **The Annals of Probability**, **49**(3), 1480–1514. <https://doi.org/10.1214/20-AOP1489>
-  Mountford, T., Mourrat, J.-C., Valesin, D., & Yao, Q. (2016). Exponential extinction time of the contact process on finite graphs. **Stochastic Processes and their Applications**, **126**(7), 1974–2013. <https://doi.org/10.1016/j.spa.2016.01.001>
-  Sunnåker, M., Busetto, A. G., Numminen, E., Corander, J., Foll, M., & Dessimoz, C. (2013). Approximate bayesian computation. **PLoS computational biology**, **9**(1), e1002803.